



УДК 547.962+577.27

## ВЗАИМОДЕЙСТВИЕ 3'-ФТОР-3'-ДЕЗОКСИАНАЛОГОВ ТРИМЕРА (2'-5')ОЛИГОАДЕНИЛОВОЙ КИСЛОТЫ С (2'-5')A<sub>3</sub>-АНТИТЕЛАМИ: СТЕРЕОХИМИЧЕСКИЙ АСПЕКТ

© 1999 г. Е. Н. Калиниченко, Т. Л. Подкопаева, И. А. Михайлопуло\*,  
М. Келве\*, М. Саарма\*, Ж. ван де Боогаарт\*\*, К. Алтона\*\*

Институт биоорганической химии НАН Беларусь, 220141, Минск, ул. Купревича, 5/2, Беларусь;

\* Институт химической физики и биофизики АН Эстонии, 200026, Таллинн, Эстония;

\*\* Горлеус лаборатория, Государственный университет Лейдена, Нидерланды

Поступила в редакцию 29.05.98 г. Принята к печати 19.02.99 г.

Мышьиные антитела к (2'-5')олигоаденилатам были получены иммунизацией животных тримером (2'-5')олигоадениловой кислоты, конъюгированным через 2',3'-левулиновую группу с бычьим сывороточным альбумином. Реактивность антител с двумя типами аналогов (2'-5')олигоадениловой кислоты, содержащих 9-(3-дезокси-3-фтор-β-D-ксилофуранозил)аденин и 3'-дезокси-3'-фтораденозин в различных положениях цепи с мышьими поликлональными антителами к тримеру (2'-5')олигоадениловой кислоты была изучена методом радиоиммунного анализа. Было найдено, что (а) пространственная структура коротких олигонуклеотидов является важным фактором в их узнавании антителами; (б) антитела более чувствительны к модификации 5'-терминального и центрального рибозных фрагментов тримера (2'-5')олигоадениловой кислоты; (в) 3'-гидроксильная группа играет второстепенную роль в формировании антигенных детерминанты.

**Ключевые слова:** (2'-5')олигоаденилаты, 3'-дезокси-3'-фтораналоги; анти-(2'-5')A<sub>3</sub>-сыворотка, иммунизация; радиоиммунологический анализ.

Антитела к коротким олигонуклеотидам – ценная модельная система для изучения роли различных факторов в процессе белок-нуклеинового взаимодействия. Показано, что критическим фактором в узнавании антителами олигонуклеотидов является природа углеводфосфатного остатка [1–3]. В свою очередь пространственное строение олигонуклеотида определяется главным образом характером фосфодиэфирных связей. Так, с помощью конформационного анализа (2'-5')- и (3'-5')олигомеров, содержащих одинаковые нуклеозиды, были обнаружены существенные различия в их пространственной организации [4]. В результате изучения взаимодействия (3'-5')тринуклеотидов с кроличьей антисывороткой к тримеру (3'-5')олигоадениловой кислоты высказано предположение, что антитела узнают не только последовательность [5], но и трехмерную структуру тримера [6].

В настоящей работе изучена роль конформационных особенностей олигонуклеотидов в узнавании их антителами на примере взаимодействия двух типов аналогов тримера (2'-5')олигоадениловой кислоты, содержащих 9-(3-дезокси-3-фтор-β-D-ксилофуранозил)аденин (A<sup>F</sup>) или 3'-дезокси-3'-фтораденозин (A<sub>F</sub>) в различных положениях цепи с мышьими поликлональными антителами к (2'-5')A<sub>3</sub>. 5'-Трифосфорилированные (2'-5')олигоаденилаты и их 5'-дефосфорилированные производные, соответственно rpp(2'-5')A<sub>3</sub> и (2'-5')A<sub>3</sub>, участвуют во многих биохимических превращениях в клетках животных, включая один из путей антивирусного действия интерферона [7]. В результате детального конформационного анализа было установлено, что замещение 3'-гидроксильной группы аденоцина на атом фтора приводит к потере конформационной подвижности фуранозного цикла, т.е. наиболее заселенной в случае A<sup>F</sup> является N-конформация со значительно уплотненным циклом ( $\Phi_N \approx 30^\circ$ ) по сравнению с изомерной молекулой A<sub>F</sub> ( $\Phi_N \approx 40^\circ$ ), фуранозный цикл которой находится практически полностью в S-конформации [8]. Примечательно, что замещение одного из аденоциновых звеньев (2'-5')тримеров на конформационно жесткий аналог, A<sup>F</sup> или A<sub>F</sub>, приводит к изменению конформации олигонуклеотидной цепи в целом. Более того, было показано,

Сокращения: (2'-5')A<sub>3</sub> и rpp(2'-5')A<sub>3</sub> – аденил(2'-5')аденил(2'-5')аденозин и его трифосфат; (2'-5')3'dA<sub>3</sub> – 3'-дезоксиаденил(2'-5')-3'-дезоксиаденил(2'-5')-3'-дезоксиаденозин; (2'-5')A<sub>3</sub>-Lev – аденил(2'-5')аденил(2'-5')[2',3'-O-(2-карбоксиэтил)этилиден]аденозин; A<sup>F</sup> – 9-(3-дезокси-3-фтор-β-D-ксилофуранозил)аденин; A<sub>F</sub> – 3'-дезокси-3'-фтораденозин; BSA – бычий сывороточный альбумин; РНКаза L – 2-5A-зависимая эндорибонуклеаза.

# Автор для переписки (тел./факс: (0172) 648-324; e-mail: igormikh@ns.iboch.ac.by).

**Таблица 1.** Реактивность мышиных антител к (2'-5')A<sub>3</sub> по отношению к модифицированным (2'-5')олигоаденилатам\*

(2'-5')Олигомеры	Антисыворотка	
	I	II
	ID <sub>50</sub>	
A <sub>3</sub>	1.0	1.0
3'dA <sub>3</sub>	1.4	**
A <sup>F</sup> AA	3333	100
AA <sup>F</sup> A	267	333
AAA <sup>F</sup>	13.0	10.0
A <sub>F</sub> AA	8.0	2.7
AA <sub>F</sub> A	3.0	2.0
AAA <sub>F</sub>	2.0	1.0

\* Индексы различия (ID) рассчитаны делением среднего значения IC<sub>50</sub> исследуемого тримера на среднее значение IC<sub>50</sub> для (2'-5')A<sub>3</sub>; чем выше значение ID, тем менее реактивным является тример к антисыворотке.

\*\* Значение не определено из-за ограниченного количества антисыворотки.

что в тримерах (2'-5')A<sup>F</sup>AA и (2'-5')AA<sup>F</sup>A гетероциклическое основание ксилоэозида A<sup>F</sup> находится в син-конформации относительно гликозидной связи. С биохимической точки зрения интерес представляет тот факт, что существует корреляция между конформационными характеристиками 3'-фтор-3'-дезокси(2'-5')олигонуклеотидов и их способностью связываться с РНКазой L, а также их повышенной устойчивостью к 2'-5'-фосфордиэстеразе [8, 9]. Эти данные побудили нас изучить взаимодействие 3'-фтор-3'-дезоксианалогов (2'-5')A<sub>3</sub> с мышьими антителами к (2'-5')A<sub>3</sub>.

Для получения мышиных поликлональных антител был использован конъюгат тримера (2'-5')олигоадениловой кислоты с бычьим сывороточным альбумином (BSA) [10, 11]. В результате иммунизации в двух сериях опытов были получены две антисыворотки (I и II), которые обладали низкой, более чем на три порядка, кроссреактивностью с (3'-5')тримером олигоадениловой кислоты, 2'-, 3'- и 5'-АМФ (данные не приведены). Это свидетельствует в пользу критически важного вклада углевод-(2'-5')фосфатного остова в антигенную детерминанту олигонуклеотида. Взаимодействие тримера (2'-5')олигоадениловой кислоты и его 3'-дезокси- и 3'-фтор-3'-дезоксианалогов с антителами было изучено методом радиоиммунного анализа согласно работе [12]. Данные представлены в табл. 1.

3'-Дезоксиаденозиновый (кордицепиновый) аналог (2'-5')A<sub>3</sub> реагирует с антисывороткой I так же хорошо, как и тример (2'-5')A<sub>3</sub>; таким образом,

3'-гидроксильная группа в любом нуклеозидном звене не играет существенной роли в узнавании антисывороткой I. Следует отметить, что аналогичной специфичностью в отношении (2'-5')3'dA<sub>3</sub> обладали поликлональные кроличьи антитела, полученные иммунизацией животных конъюгатом BSA с (2'-5')A<sub>3</sub>. Конъюгат синтезировали периодатным окислением 2',3'-диольной группы (2'-5')A<sub>3</sub> [1]. Однако антитела, полученные иммунизацией кроликов аналогичным конъюгатом трифосфата (2'-5')A<sub>3</sub> с BSA, обнаружили очень низкую реактивность с 3'-дезоксиаденозиновыми аналогами (2'-5')A<sub>3</sub> [2], что предполагает критически важный вклад рассматриваемой гидроксильной группы в процесс связывания.

Замещение одной из 3'-гидроксильных групп тримера (2'-5')A<sub>3</sub> на атом фтора в отличие от замещения (2'-5')3'dA<sub>3</sub> приводит к значительным изменениям реактивности олигомеров (табл. 1). Наиболее интересным результатом исследования является зависимость реактивности антител от конфигурации атома фтора и нахождения модифицированного нуклеозида в цепи олигомера. Тримеры *рибо*-конфигурации, содержащие атом фтора, несколько менее реактивны, чем (2'-5')A<sub>3</sub>. Напротив, замена 3'-гидроксильной группы на атом фтора в *ксило*-конфигурации приводит к значительному изменению реактивности в зависимости от положения модифицированного нуклеозида в цепи. Модификация 5'-терминального и центрального нуклеозида сопровождается уменьшением реактивности поликлональных антител более чем на два порядка, тогда как аналогичная модификация 2'-терминального аденоцина снижает реактивность приблизительно на порядок.

Учитывая наши данные по реактивности (2'-5')3'dA<sub>3</sub>, индексы различия ID<sub>50</sub> фтордезоксианалогов (2'-5')A<sub>3</sub> должны отражать их конформационные особенности. Реактивности изомеров в каждой паре фтордезоксианалогов (*рибо*- и *ксило*-) сильно различаются. Как отмечалось выше, замещение 3'-гидроксильной группы аденоцина на атом фтора приводит к существенной потере S ⇌ N-конформационной подвижности фуранозного кольца и эти особенности *ксило*- и *рибо*-фтордезоксианалогов отражаются на состоянии олигомерной молекулы [8]. Следует заметить, что S ⇌ N-конформационное равновесие немодифицированных аденоциновых остатков остается практически одинаковым как для тримера (2'-5')A<sub>3</sub>, так и в олигомерах, содержащих A<sup>F</sup> либо A<sub>F</sub>. Другими словами, кооперативность, по-видимому, отсутствует.

Мы полагаем, что пространственное строение тримеров (2'-5')A<sup>F</sup>AA и (2'-5')AA<sup>F</sup>A, определяемая влиянием N-конформации фуранозного кольца и

*син*-ориентации гетерооснования вокруг гликозидной связи в  $A^F$ , является неблагоприятным для взаимодействия с изученными антителами. Следует заметить, что в случае тримера (2'-5') $A_3$  фуранозный цикл находится в динамичном  $S \longleftrightarrow N$ -равновесии с преимущественной *анти*-ориентацией всех адениновых оснований [8]. Можно также предполагать, что антитела узнают тример в  $S$ -конформации углеводных фрагментов, что согласуется с доминирующей  $S$ -конформацией остатков 3'-дезокси-3'-фтораденозина. Это предположение, однако, не согласуется с данными по конформационному анализу кордицепинового (2'-5')тримера, для которого было установлено преимущественное заселение  $N$ -конформации [13]. По-видимому, конформационная жесткость фуранозного цикла  $A^F$  наряду с *син*-ориентацией основания приводит к низкой реактивности к антителам. Эта ситуация имеет определенную аналогию со связыванием с РНКазой L бромированных аналогов трифосфата (2'-5') $A_3$ , где для эффективного взаимодействия с ферментом необходима *анти*-ориентация гетероциклического основания 5'-терминального фрагмента [14].

Стереохимические особенности фтордезоксианалогов (2'-5') $A_3$  находят свое отражение в КД-спектрах изученных (2'-5')олигонуклеотидов тримеров. Форма полос КД-спектров всех фтордезоксианалогов похожа на форму полос (2'-5') $A_3$  [4], однако амплитуды эффекта Коттона существенно различаются в зависимости от положения модифицированного нуклеозида и от конфигурации атома фтора (рис. 1 и 2; табл. 2). Эти различия, как и в случае реактивности антител, являются наибольшими в случае *ксило*-фтордезоксиолигомеров (2'-5') $A^F$ AA и (2'-5')AA $F$ A, а также олигомера (2'-5')AAA $F$ . Последний результат с учетом данных по реактивности антител представляется неожиданным и свидетельствует об отсутствии прямой корреляции между КД и сродством к антителам. Следует также отметить, что данные по гипохромизму не коррелируются с данными по КД.

Таким образом, в настоящей работе впервые показано, что пространственное строение коротких олигонуклеотидов, определяемое в первую очередь структурой углеводно-(2'-5')фосфатного остова, является важным фактором в их узнавании поликлональными мышевыми антителами. При присоединении гаптена к иммуногену через 2'-терминальный рибозный остаток антитела более чувствительны к модификации 5'-терминального и среднего рибозных фрагментов (2'-5') $A_3$ , а именно главный эпипот узнавания включает оба адениновых гетероцикла с *анти*-ориентацией гликозидных связей (ср. с данными работ [1, 2, 6]). 3'-Гидроксильная группа играет, по-видимому,

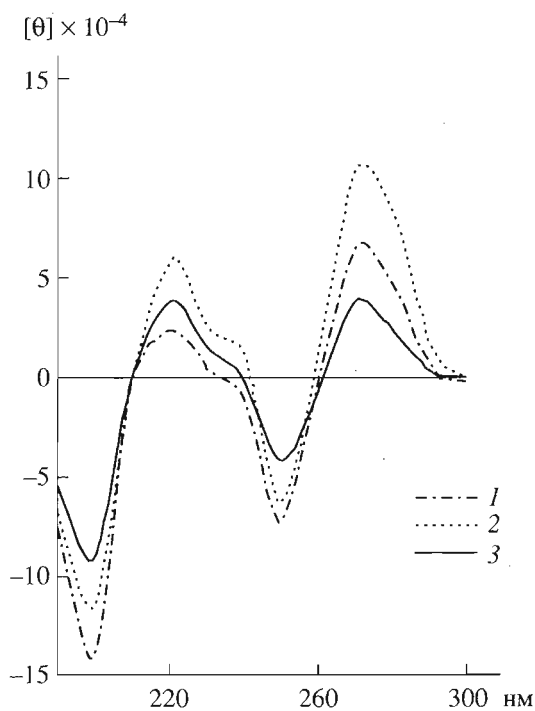


Рис. 1. КД-спектры *ксило*-фтордезоксианалогов тримера (2'-5') $A_3$  –  $A^F$ AA (1), AA $F$ A (2), AAA $F$  (3) в 0.01 М фосфатном буфере (pH 7.0).

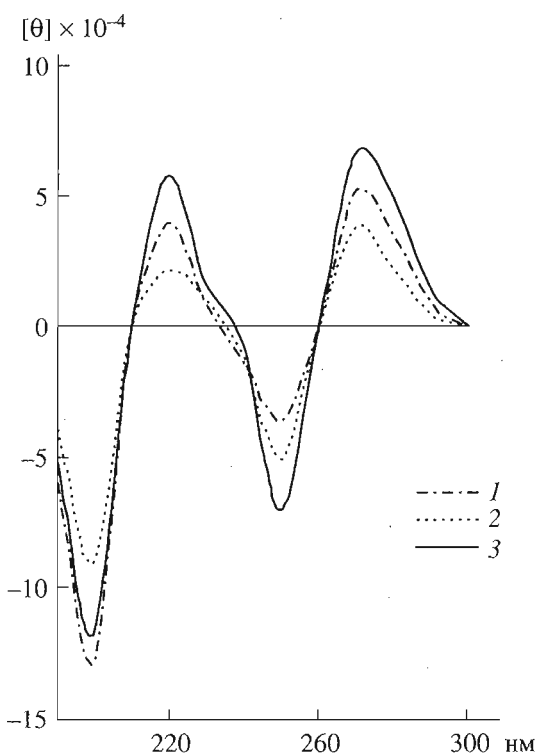


Рис. 2. КД-спектры *рибо*-фтордезоксианалогов тримера (2'-5') $A_3$  –  $A_F$ AA (1), AA $F$ A (2), AAA $F$  (3) в 0.01 М фосфатном буфере (pH 7.0).

**Таблица 2.** Данные КД-спектроскопии и величины гипохромизма 3'-фтордезоксианалогов (2'-5')A<sub>3</sub>

(2'-5')Оли- гомеры	Гипохро- мизм, %	КД*		
		λ, нм	[θ] × 10 <sup>-3</sup>	λ, нм, θ = 0
A <sup>F</sup> AA	19	270	+65.4	290, 259
		250	-72.3	233, 214
		218	+23.8	
AA <sup>F</sup> A	7.5	270	+101.7	300, 257
		250	-67.0	238, 212
		218	+58.5	
AAA <sup>F</sup>	16	270	+39.0	283, 262
		249	-41.9	225, 218
		220	+39.1	
A <sub>F</sub> AA	16	270	+52.1	294, 259
		250	-35.5	237, 213
		219	+40.2	
AA <sub>F</sub> A	20	270	+37.9	305, 259
		250	-49.1	237, 214
		221	+22.3	
AAA <sub>F</sub>	25	270	+65.8	249, 259
		249	-70.2	237, 212
		219	+57.5	

\* Все спектры имели плечо в области 230–240 нм.

второстепенную роль в формировании антигенной детерминанты.

## ЭКСПЕРИМЕНТАЛЬНАЯ ЧАСТЬ

Синтез фторзамещенных тримеров опубликован ранее в работах [8, 9]. Тример (2'-5')олигоадениловой кислоты и его кордицепиновый аналог (2'-5')3'dA<sub>3</sub> синтезированы как описано в работах [15, 16]. УФ-спектры записаны на спектрофотометре Specord UV-VIS (Carl Zeiss, Германия). КД-спектры записаны на спектрофотометре J-20 (JASCO, Япония) в 2 мм кюветах в 0.01 М фосфатном буфере (рН 7.0) при 20°C. Данные по КД вычислены из молярного коэффициента поглощения каждого тримера с учетом гипохромизма (табл. 2). Гипохромизм определялся ферментативно с использованием фосфодиэстеразы змеиного яда (Boehringer Mannheim, Германия) как описано в работе [17]; данные суммированы в табл. 2. Высокоэффективная жидкостная хроматография (ВЭЖХ) проводилась на хроматографе Bruker LC 31 (Bruker, Германия) на колонке Zorbax ODS C18 (4.6 × 150 мм) в линейном градиенте концентрации буфера А (50 мМ (NH<sub>4</sub>)<sub>2</sub>PO<sub>4</sub>, рН 7.0) в растворе Б (MeOH-H<sub>2</sub>O, 1 : 1) (25 мин) и на хроматографе Altex (Altex, США) на колонке Ultras-

sphere ODS (4.6 × 250 мм) с использованием того же градиента (70 мин).

**Иммунизация мышей и радиоиммунологический анализ.** Тример (2'-5')олигоадениловой кислоты, несущий в 2'-терминальном аденоине (2-карбоксиэтил)этилиденовую группу, (2'-5')A<sub>3</sub>-Lev, конъюгирували с BSA как описано в работе [11]. Конъюгирование приводило к замещению 4.27 моль гаптеновых групп, (2'-5')A<sub>3</sub>-Lev на моль BSA, определенное по УФ-поглощению конъюгата с использованием молярного коэффициента поглощения (2'-5')A<sub>3</sub> ε<sub>259</sub> 35800 (гипохромизм 23%). Мыши линии BALB/c иммунизировались интраперитонально 200 мг конъюгата в 200 мкл 0.85% изотонического раствора хлористого натрия, эмульгированного в равном объеме полного адьюванта Фрейнда. Через две недели процедуру повторяли с неполным адьювантом Фрейнда. Последующие инъекции 200 мг (2'-5')A<sub>3</sub>-Lev-BSA в неполном адьюванте Фрейнда (200 мкл) выполняли с месячным интервалом в течение 6 месяцев. Иммунную сыворотку готовили центрифугированием крови при 400 g в течение 5 мин.

После добавления равного объема глицерина образцы сыворотки хранили при -20°C. В радиоиммунном анализе использовали антисыворотку индивидуальной мыши, разбавленную в 100 раз изотоническим раствором.

Радиоактивная проба (2'-5')A<sub>3</sub>-3'[<sup>32</sup>P]р5'С3'р была синтезирована и очищена как описано в работе [12], все разбавления делали в Трис-НCl-буферном растворе (рН 7.6). Для каждого олигонуклеотида определяли концентрацию (средние значения трех-пяти экспериментов), необходимую для вытеснения 50% меченого лиганда из комплекса с антителами (IC<sub>50</sub>). Значения IC<sub>50</sub> для (2'-5')A<sub>3</sub> составляли 3 × 10<sup>-9</sup> и 3 × 10<sup>-8</sup> М с антисыворотками I и II соответственно. Данные суммированы в табл. 1 в виде индекса различия, ID<sub>50</sub>, вычисленного делением значения IC<sub>50</sub> исследуемого аналога на значение IC<sub>50</sub> для (2'-5')A<sub>3</sub>. Чем выше ID<sub>50</sub>, тем менее реактивен тример с антисывороткой.

Авторы благодарны д. х. н. Квасюку Е.И. и к. х. н. Кулак Т.И. за предоставление конъюгата (2'-5')A<sub>3</sub>-Lev-BSA. Авторы считают своим приятным долгом выразить благодарность Фонду им. А. фон Гумбольдта (Бонн-Бан-Годесберг, Германия) за частичную финансовую поддержку настоящего исследования.

## СПИСОК ЛИТЕРАТУРЫ

1. Sawai H., Shinomiya T. // J. Biochem. (Tokyo). 1982. V. 92. P. 1723–1730.
2. Johnston M.J., Imai J., Lesiak K., Torrence P.F. // Biochemistry. 1983. V. 22. P. 3453–3460.

3. Johnston M.I., Imai J., Lesiak K., Jacobsen H., Sawai H., Torrence P.F. // Biochemistry. 1985. V. 24. P. 4710–4718.
4. Doornbos J., Den Hartog J.A.J., van Boom J.H., Altona C. // Eur. J. Biochem. 1981. V. 116. P. 403–412.
5. Suck D., Manor P.C., Germain G., Schwalbe C.H., Weimann G., Saenger W. // Nature. New Biology (London). 1973. V. 246. P. 161–163.
6. D'Alisa R.M., Erlanger B.F. // Biochemistry. 1974. V. 13. P. 3575–3579.
7. Torrence P.F. // Biological Response Modifiers. New Approaches to Disease Intervention / Eds P.F. Torrence. Orlando: Academic Press, 1985. P. 77–105.
8. Van den Boogaart J.E., Kalinichenko E.N., Podkopaeva T.L., Mikhailopulo I.A., Altona C. // Eur. J. Biochem. 1994. V. 221. P. 759–768.
9. Kalinichenko E.N., Podkopaeva T.L., Kelve M., Saarma M., Mikhailopulo I.A. // Biochem. Biophys. Res. Commun. 1990. V. 167. P. 20–26.
10. Kvasyuk E.I., Kulak T.I., Zaitseva G.V., Mikhailopulo I.A., Charubala R., Pfleiderer W. // Tetrahedron Lett. 1984. V. 25. P. 3683–3686.
11. Kvasyuk E.I., Kulak T.I., Zaitseva G.V., Mikhailopulo I.A., Pfleiderer W. // Bioorg. khimia. 1984. Т. 10. С. 506–514.
12. Knight M., Cayley P.J., Silvermann R.H., Wreschner D.H., Gilbert C.S., Brown R.E., Kerr I.M. // Nature (London). 1980. V. 288. P. 189–192.
13. Doornbos J., Charubala R., Pfleiderer W., Altona C. // Nucl. Acids Res. 1983. V. 11. P. 4569–4582.
14. Van den Hoogen Y.Th., Hilgersom G.M.A., Brozda D., Lesiak K., Torrence P.F., Altona C. // Eur. J. Biochem. 1989. V. 182. P. 629–637.
15. Kvasyuk E.I., Kulak T.I., Kalinichenko E.N., Podkopaeva T.L., Mikhailopulo I.A., Pfleiderer W. // Bioorg. khimia. 1985. Т. 11. С. 1227–1238.
16. Kvasyuk E.I., Kulak T.I., Khrapach N.B., Mikhailopulo I.A., Uhlmann E., Charubala R., Pfleiderer W. // Synthesis. 1987. № 6. P. 535–541.
17. Huss S., Gosselin G., Pompon A., Imbach J.-L. // Nucleosides Nucleotides. 1986. V. 5. P. 275–300.

## The Stereochemical Aspect of the Interaction of 3'-Fluoro-3'-deoxy Analogues of the (2'-5')Oligoadenylic Acid Trimer with (2'-5')A<sub>3</sub> Antibodies

E. N. Kalinichenko\*, T. L. Podkopaeva\*, I. A. Mikhailopulo\*\*, M. Kelve\*\*,  
M. Saarma\*\*, J. van den Boogaart\*\*\*, and C. Altona\*\*\*

\*Institute of Bioorganic Chemistry, Belarussian Academy of Sciences, ul. Kuprevicha 5/2, Minsk, 220141 Belarus

\*\*Institute of Chemical Physics and Biophysics, Estonian Academy of Sciences, Tallinn, 200026 Estonia

\*\*\*Gorlaeus Laboratories, Leiden University, Leiden, the Netherlands

Mouse antibodies to (2'-5')oligoadenylylates were obtained by the immunization of animals with the (2'-5')oligoadenylic acid trimer conjugated with bovine serum albumin through a 2',3'-levulinic acid residue. Using radioimmunoassay, the reactivity of mouse polyclonal antibodies to the (2'-5')oligoadenylic acid trimer was studied for the trimer analogues containing 9-(3-deoxy-3-fluoro-β-D-xylofuranosyl)adenine and 3'-deoxy-3'-fluoro-adenosine in various positions of the chain. It was found that (a) the three-dimensional structure of short oligonucleotides is an important factor in the antibody recognition; (b) antibodies are more sensitive to modifications of the 5'-terminal and central ribose fragments of the (2'-5')oligoadenylic acid trimer; (c) the 3'-hydroxyl group plays a secondary role in the formation of the antigen determinant.

**Key words:** anti(2'-5')A<sub>3</sub> serum, 3'-deoxy-3'-fluoro analogues, immunization, (2'-5')oligoadenylylates, radioimmunoassay

# To whom correspondence should be addressed; phone/fax: +7 (0172) 648-324; e-mail: igormikh@ns.iboch.ac.by.